

ESTUDO DE IMPACTO AMBIENTAL EM INFRAESTRUTURAS VIÁRIAS: APLICAÇÃO DA AVALIAÇÃO DE CICLO DE VIDA (ACV) EM DIFERENTES TIPOS DE SUPERESTRUTURA DE PONTES

Me. Dayvson Carlos Batista de Almeida





- Doutorando no Programa de Pós-Graduação em Engenharia Civil UFPE (Estruturas com ênfase em Construção Civil, 2020-atual).
- Mestre em Engenharia Civil (2019) UPE
- Engenheiro Civil (2016) pela Universidade Federal de Pernambuco UFPE.
- Auditor Técnico de Controle Externo Obras Públicas no Tribunal de Contas do Estado do Amazonas (TCE-AM).







 Globalmente, estamos atravessando uma crise climática (MORRIS; ALLEN; HAWKINS, 2021; WANG et al., 2021).



1/3 da energia produzida e emite cerca de 39% dos gases de efeito estufa produzidos globalmente pelas atividades humanas (GU et al., 2021).

A produção de cimento contribui com 5 a 8% das emissões de CO₂ em todo o mundo (QUINTANA-GALLARDO et al., 2021).

 Surge a necessidade de identificar materiais alternativos que possam substituir os materiais virgens tradicionalmente usados (SANDANAYAKE; LAW; SARGENT, 2022).







• No que se refere às condições das rodovias constatou-se que, em 2022 (CNT, 2022)

66% problema no estado geral

55,5% problema relacionadas ao pavimento

60,7% revelaram deficiências na sinalização

64,0% evidenciaram falhas na geometria



Segundo o DNIT, até maio de 2023 havia 736 pontes em grau crítico ou ruim no Brasil.







- Lei 14.133 de 2021:
- Art. 11. O processo licitatório tem por objetivos:
- l assegurar a seleção da proposta apta a gerar o resultado de contratação mais vantajoso para a Administração Pública, inclusive no que se refere ao c<mark>iclo de vida do objeto;</mark>
- Art. 34. O julgamento por menor preço ou maior desconto e, quando couber, por técnica e preço considerará o menor dispêndio para a Administração, atendidos os parâmetros mínimos de qualidade definidos no edital de licitação.
- § 1° Os custos indiretos, relacionados com as despesas de manutenção, utilização, reposição, depreciação e impacto ambiental do objeto licitado, entre outros fatores vinculados ao seu ciclo de vida, poderão ser considerados para a definição do menor dispêndio, sempre que objetivamente mensuráveis, conforme disposto em regulamento.







 Muitas dessas pontes estão chegando ao fim de sua vida útil e requerem decisões acertadas por parte dos projetistas (RAEISI et al., 2021).

 Avaliação do Ciclo de Vida (ACV) é uma técnica reconhecida mundialmente ,porém são escassos os estudos sobre ACV em pontes (MA et al., 2021).



 ACV é reconhecida como um dos métodos mais complexos de avaliação ambiental em construções (SOUST-VERDAGUER; LLATAS; GARCÍA-MARTÍNEZ, 2016).







Identificar os potenciais impactos ambientais por meio da metodologia de Avaliação do Ciclo de Vida, considerando dois tipos de pontes, uma com superestrutura de concreto armado e outra com superestrutura mista de aço e concreto, avaliadas sob diferentes cenários de análise.

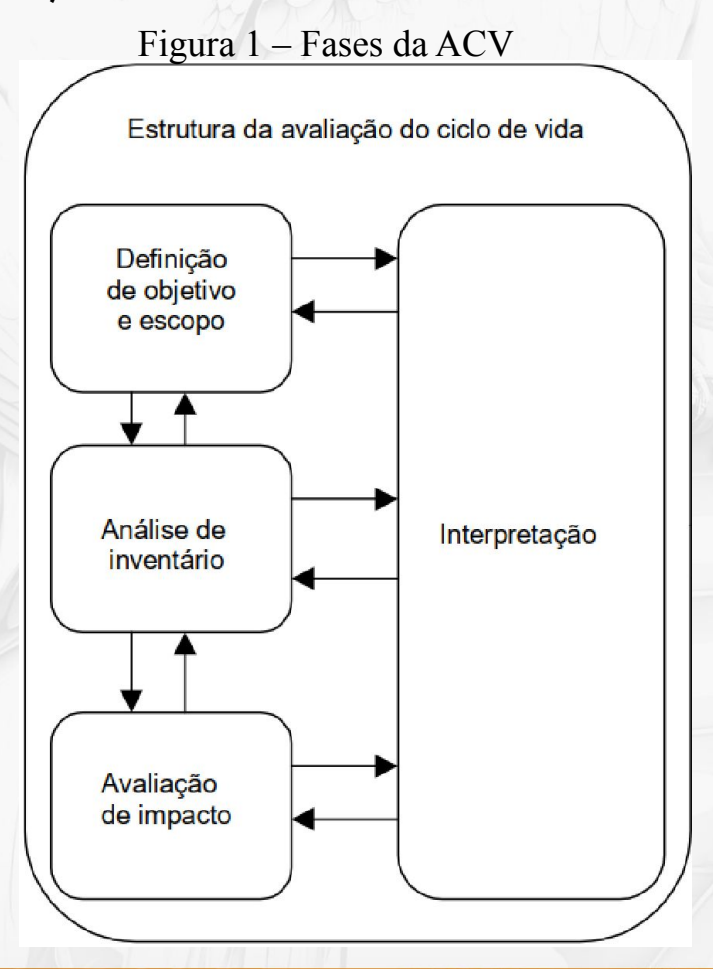
• Com isso, pretende-se apoiar a tomada de decisões sustentáveis na fase de projeto de infraestruturas viárias, promovendo o desenvolvimento de abordagens mais eficazes na avaliação dos impactos ambientais dessas estruturas.







• Para conduzir a Avaliação do Ciclo de Vida, a ISO 14040 (ISO 14040, 2009) ressalta quatro etapas necessárias (Figura 1):

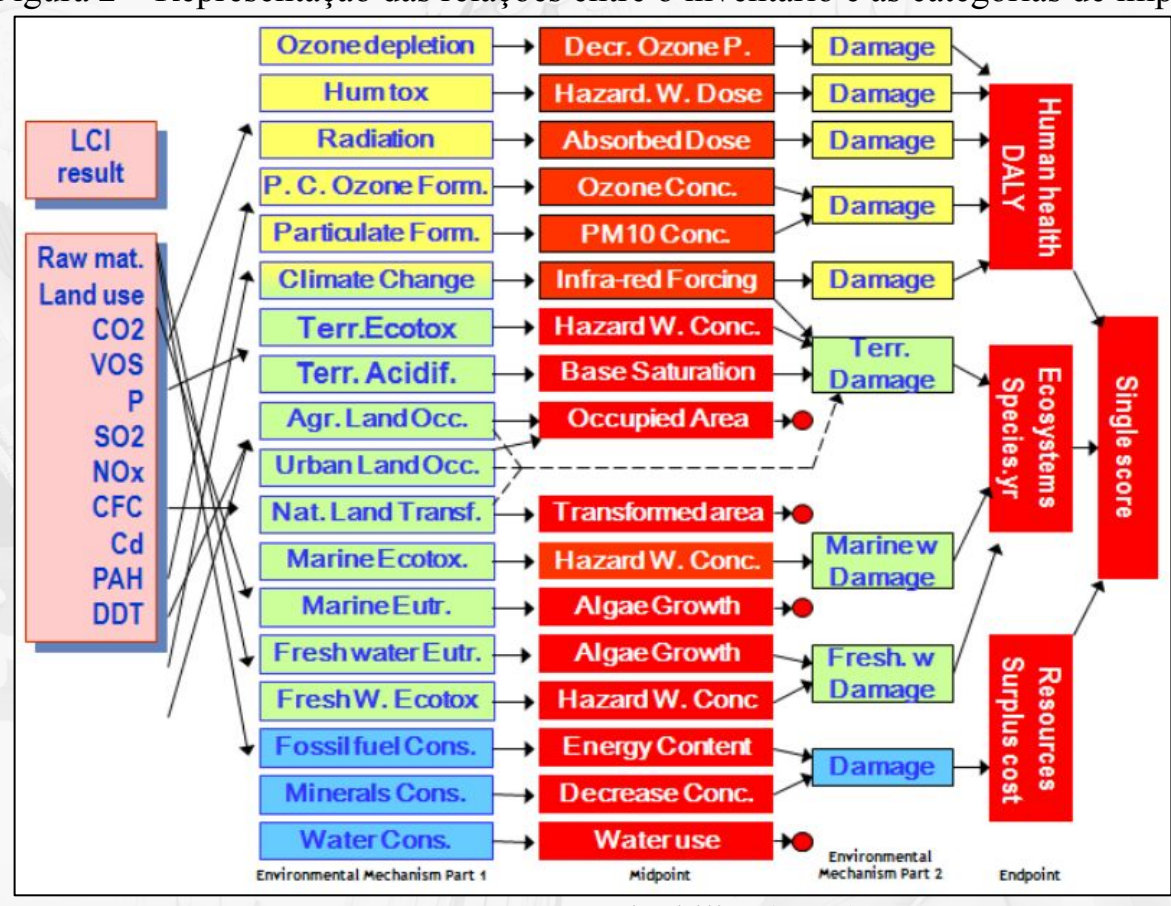






Método de avaliação de impacto do ciclo de vida ReCiPe 2016 Midpoint (H):

Figura 2 – Representação das relações entre o inventário e as categorias de impactos



Fonte: Pré-Sustainability (2022)

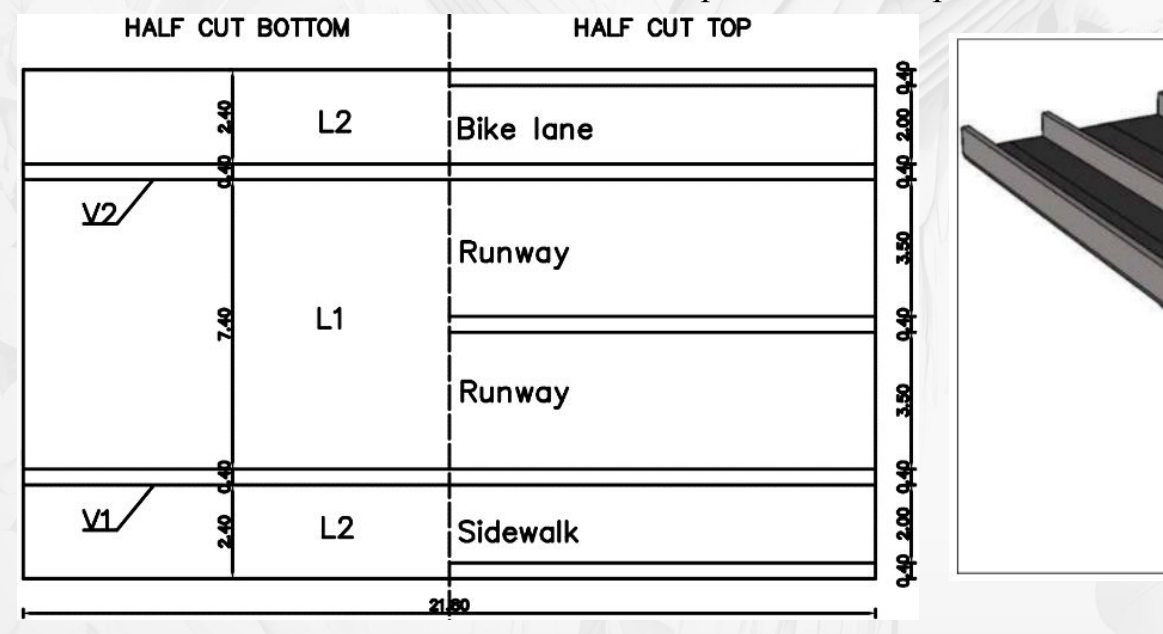


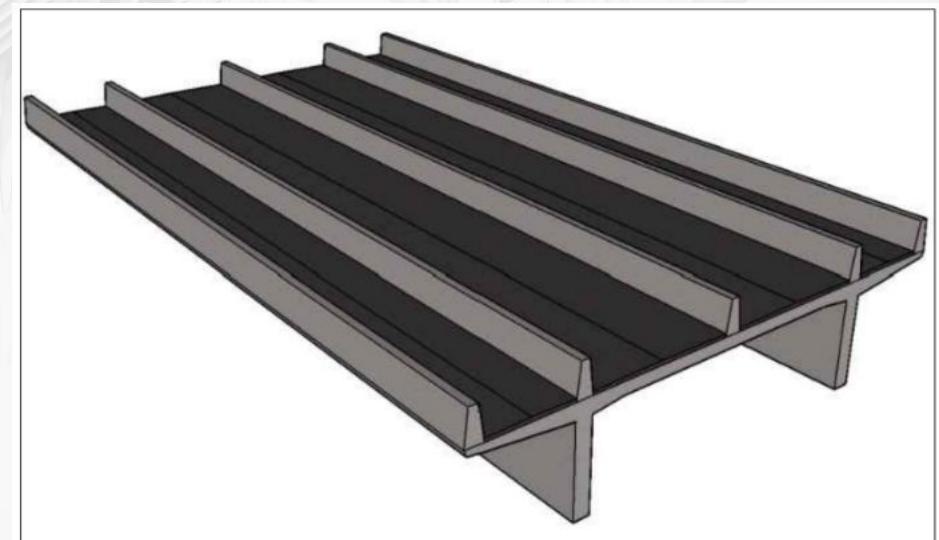


3. Metodologia

- Objeto de estudo: superestrutura de uma ponte pré-moldada, com dimensões de 13 metros de largura e 21,8 metros de comprimento.
- Ponte de classe 45, de acordo com a norma brasileira NBR 7188 (ABNT, 2013), baseada em um veículo-tipo de 450 kN de peso total.
- Laje de concreto armado pré-moldado de 35 MPa.

Figura 3 – Vista superior da ponte: (a) Vista superior e de corte da ponte; (b) Vista 3D da superestrutura da ponte com as defensas











3. Metodologia

- Com o objetivo de avaliar os impactos ambientais em diferentes composições dos elementos estruturais da superestrutura, foram considerados seis modelos de pontes:
 - 1. Ponte de vigas e lajes de concreto armado (PCA).
- 2. Ponte de vigas e lajes de concreto armado com substituição de 50% de agregado natural por agregado reciclado (PCA-50%).
- 3. Ponte de vigas e lajes de concreto armado com substituição de 100% de agregado natural por agregado reciclado (PCA-100%).
 - 4. Ponte mista de vigas de aço e lajes de concreto armado (PMA).
- 5. Ponte mista de vigas de aço e lajes de concreto armado com substituição de 50% de agregado natural por agregado reciclado (PMA-50%).
- 6. Ponte mista de vigas de aço e lajes de concreto armado com substituição de 100% de agregado natural por agregado reciclado (PMA-100%).

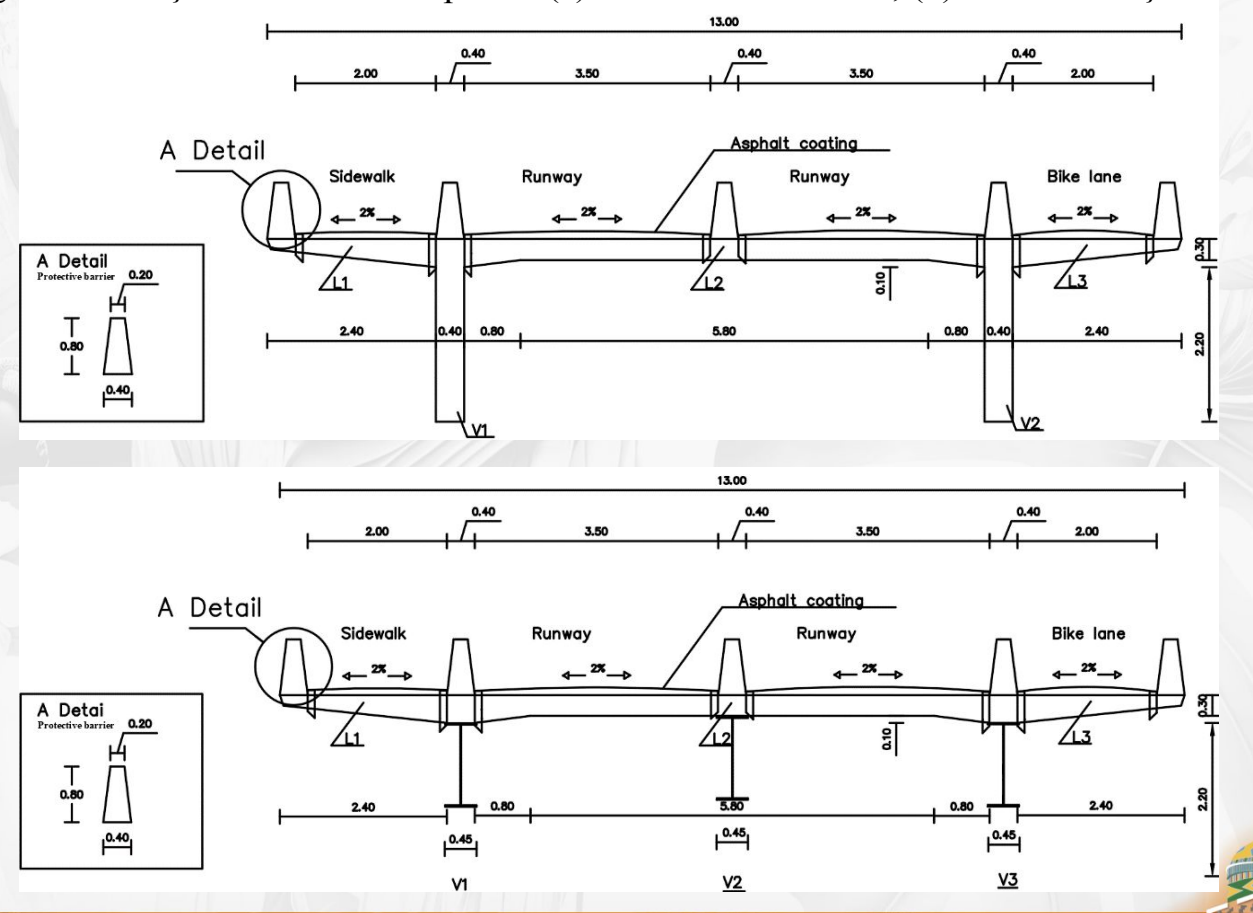






As Figuras 4a e 4b mostram as seções transversais das pontes de concreto armado e das pontes mistas, assim como as dimensões de seus componentes.

Figura 4 – Seção transversal da ponte: (a) de concreto armado; (b) e mista de aço/concreto

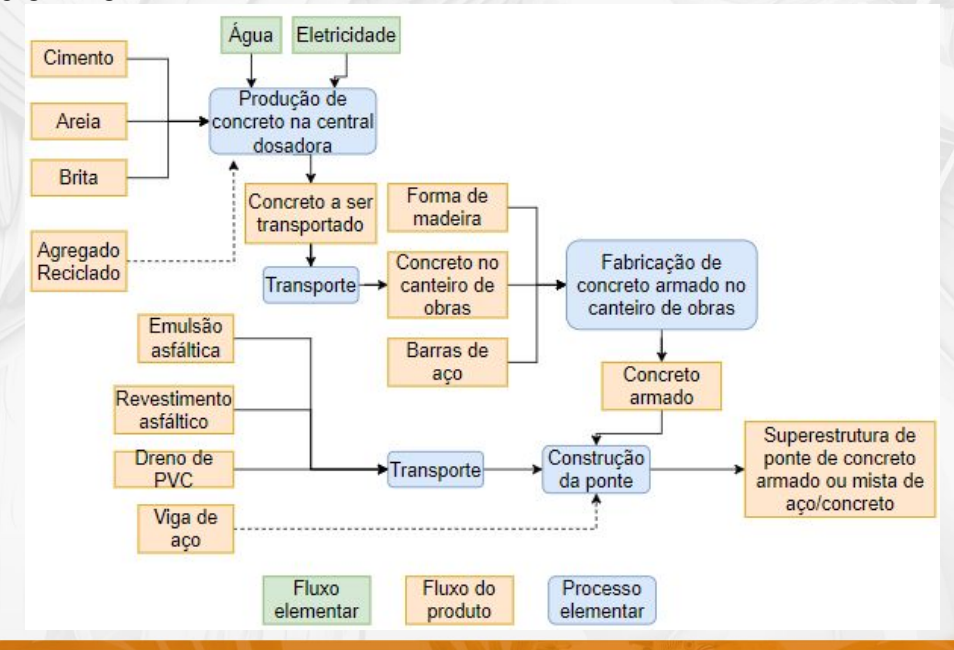






3. Metodologia

- Escopo: berço-à-porta
- Unidade funcional: m³ de ponte construída.
- Base de dados: Evah OzLCI2019 (The Evah Institute, 2023) eSistema de Informação do Desempenho Ambiental da Construção (SIDAC) (Oliveira; Lidiane Santana; John, 2023)
- **Método**: ReCiPe 2016 Midpoint (H) (Huijbregts et al., 2016)
- Software: OpenLCA versão Figura 5 Inventário da superestrutura da ponte



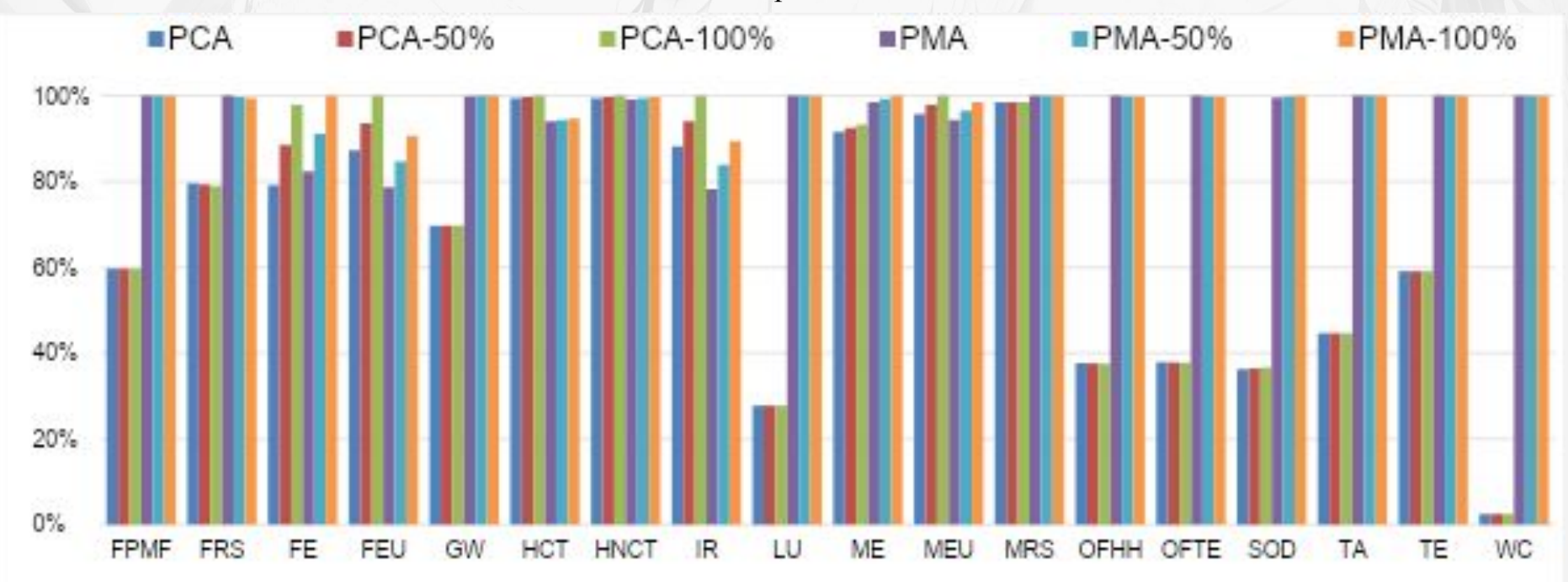




4. Resultados

A Figura 6 ilustra os resultados relativos dos indicadores para os diferentes modelos de pontes,
utilizando o método de avaliação ReCiPe 2016 Midpoint (H) (Huijbregts et al., 2016):

Figura 6 – Comparação do impacto ambiental por m³ dos diferentes tipos de pontes em análise; método ReCiPe 2016 Midpoint









A Figura 7 apresenta os resultados relativos ao indicador de Aquecimento Global (GW), expressos em quilogramas de dióxido de carbono equivalente (kg CO2 eq),



Figura 7 – Aquecimento Global (GW)

A Tabela 1 apresenta os resultados relativos ao indicador de Aquecimento Global (GW), expressos em quilogramas de dióxido de carbono equivalente (kg CO2 eq),

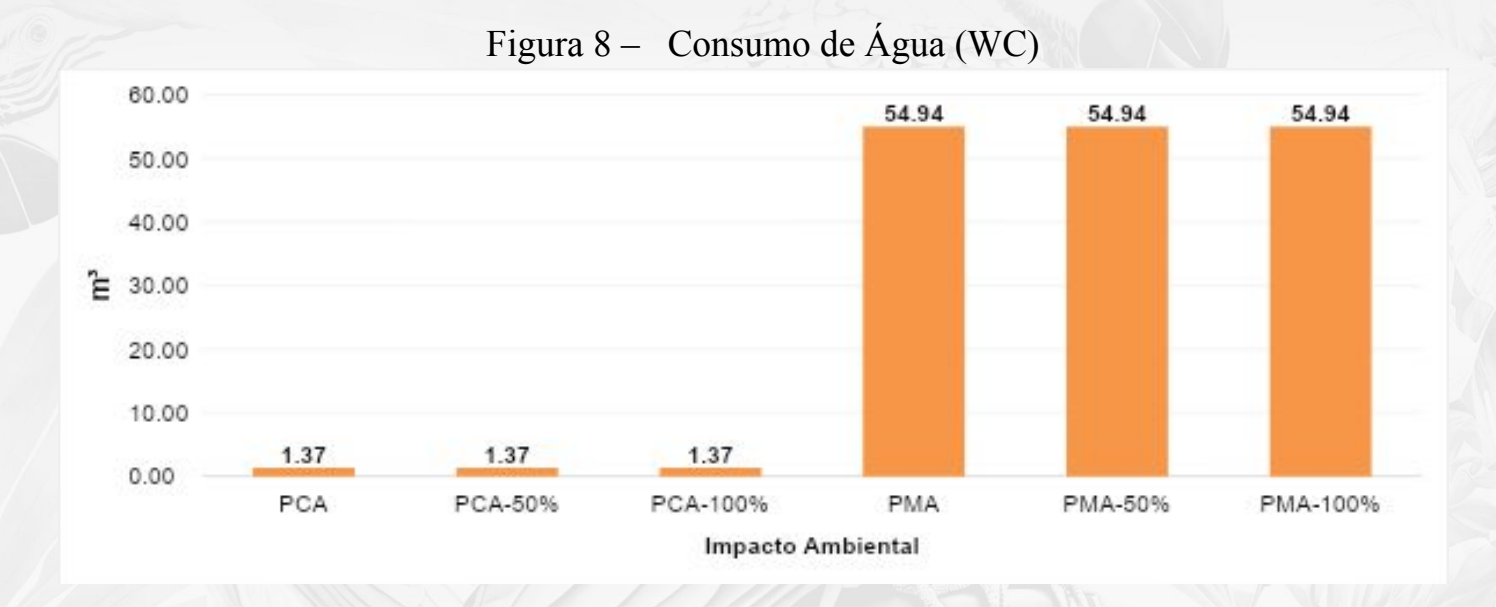
Tabela 1– Análise do impacto GW no comparativo entre 1 m³ viga metálica e 1 m³ de viga de concreto armado

Emissão	Viga metálica	Viga de concreto armado
CO_2	14.871,40 kg	379,99 kg
CH ₄	27,45 kg	0,44 kg









• Essa diferença pode ser explicada pela natureza dos processos envolvidos na produção dos materiais, uma vez que a fabricação do aço consome grandes quantidades de água, especialmente para resfriamento e outros procedimentos na siderurgia.







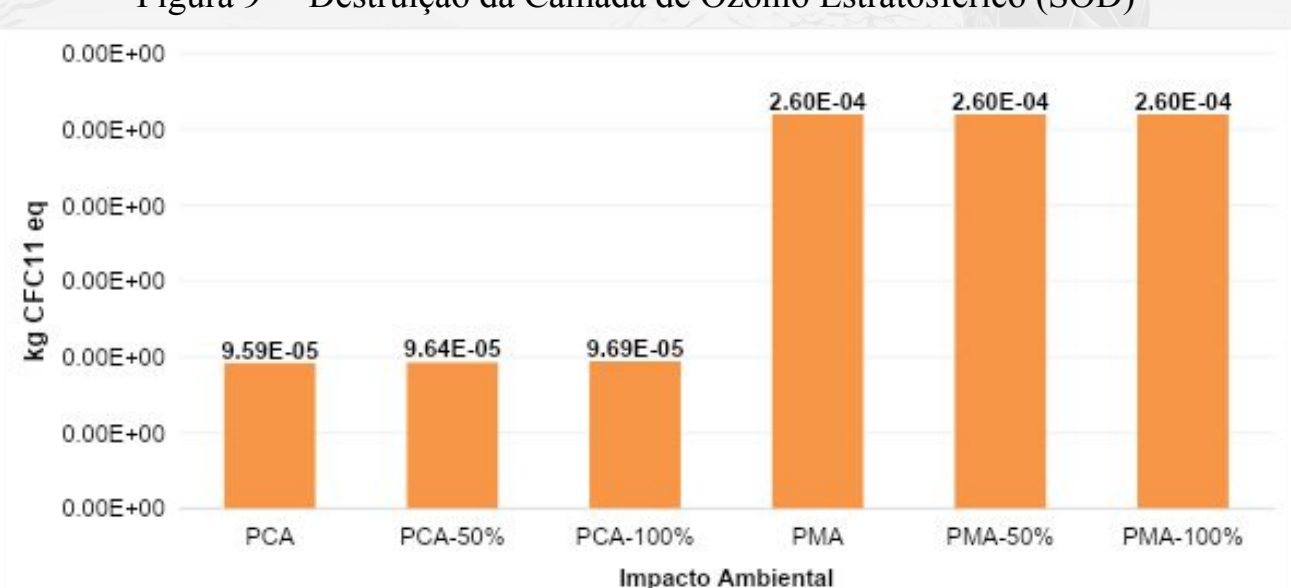


Figura 9 – Destruição da Camada de Ozônio Estratosférico (SOD)

A emissão elevada de óxidos nitrosos (0,01367 kg) e triclorofluorometano (0,00011 kg) nas pontes mistas de aço/concreto resulta em um impacto ambiental mais acentuado nesse indicador, quando comparado às pontes de concreto, cujas emissões são significativamente menores, com 0,00768 kg de óxidos nitrosos e 8,58E-6 kg de triclorofluorometano.







4.4 Ecotoxicidade em Água Doce (FE)

Observa-se que as pontes de concreto armado (PCA, PCA-50%, PCA-100%) e as pontes mistas de aço/concreto (PMA, PMA-50%, PMA-100%) apresentam valores próximos, variando entre 0,023 kg 1,4-DCB eq para o modelo PCA e 0,029 kg 1,4-DCB eq para os modelos PCA-100% e PMA-100%.

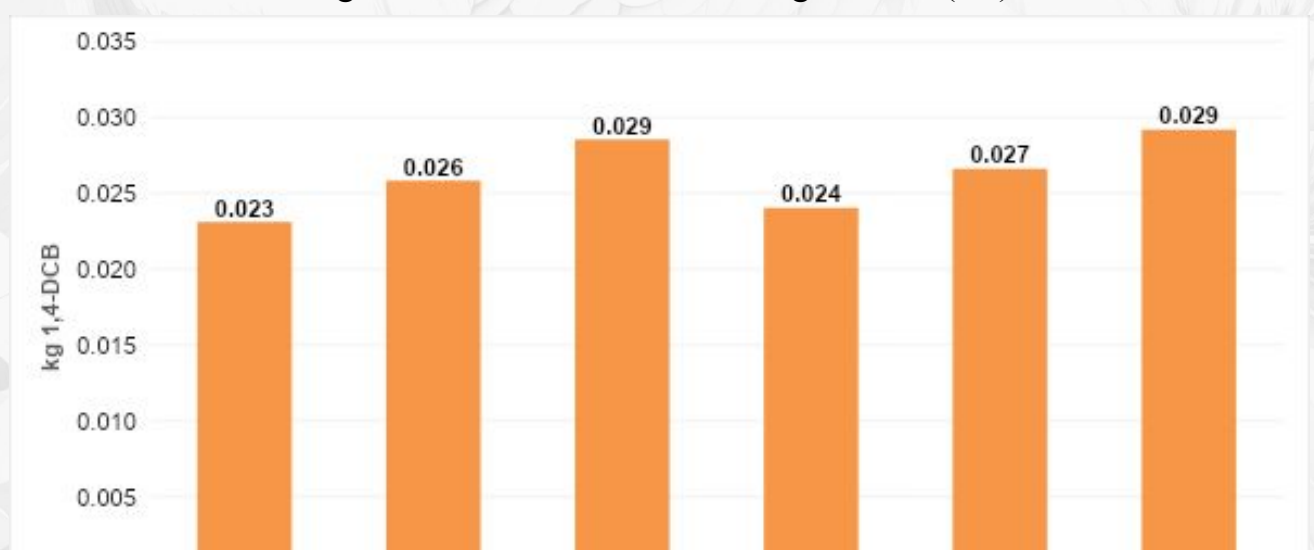


Figura 10 – Ecotoxicidade em Água Doce (FE)





0.000

PCA

PCA-50%

Impacto Ambiental

PMA

PMA-50%

PMA-100%

PCA-100%

4.4 Ecotoxicidade em Água Doce (FE)

• A Tabela 2 apresenta um comparativo de emissões entre 1 kg de agregado reciclado e 1 kg de areia natural quanto ao indicador FPMF.

Tabela 2– Análise comparativa da emissão de FPMF entre agregados reciclado e natural

Emissão	Agregado reciclado	Areia natural
Zinco	2,08E-08 kg	1,50E-10 kg
Cobre	8,61E-09 kg	6,85E-10 kg
Níquel	1,55E-08 kg	2,42E-10 kg
Vanádio	3,73E-09 kg	2,67E-09 kg
Antimônio	1,38E-09 kg	
Decano	<u> </u>	3,81E-09 kg
Crômio	- / · · · · · · · · · · · · · · · · · ·	1,15E-08 kg
Arsênio	-	2,96E-10 kg
Bário		3,65E-09 kg
Cádmio		2,02E-10 kg

Embora a areia natural emita uma maior variedade de metais pesados, o agregado reciclado emite concentrações mais elevadas de metais com maior impacto na ecotoxicidade em água doce, como zinco, níquel, vanádio e cobre.





5. Conclusões

- Os resultados indicam que as pontes de concreto armado apresentaram menor impacto ambiental global, especialmente nos indicadores de Aquecimento Global (GW), Consumo de Água (WC) e Destruição da Camada de Ozônio (SOD), em comparação às pontes mistas de aço/concreto.
- A produção do aço, intensiva em energia e emissora de compostos prejudiciais ao meio ambiente, foi a principal responsável pelos impactos negativos mais elevados nos modelos mistos.
- Embora o uso de agregados reciclados represente uma estratégia promissora para a sustentabilidade, observou-se um leve aumento nos indicadores de ecotoxicidade em água doce (FE), especialmente nos cenários com 100% de substituição, possivelmente devido à presença de metais pesados nos materiais reciclados.







5. Conclusões

- Em resumo, as pontes de concreto armado de forma geral apresentaram um impacto ambiental menor em comparação com as pontes mistas, embora com algumas exceções em indicadores específicos.
- Esses resultados demonstram o potencial da ACV como ferramenta estratégica no planejamento sustentável de obras públicas, e reforçam a necessidade de políticas que incentivem o uso de materiais de menor impacto ambiental."







6. Referências

ABNT. (2013). **NORMA BRASILEIRA ABNT NBR NBR 7188**:2013 Carga móvel rodoviária e de pedestres em pontes, viadutos, passarelas e outras estruturas. Norma Brasileira, 64.

ABNT, A. B. de N. T. (2009). **ABNT NBR ISO 14040**: Gestão ambiental - Avaliação do ciclo de vida - Princípio e estrutura. 1–21.

Almeida, D. C. B. de, & Carneiro, A. M. P. (2025). Environmental impact of steel/concrete composite bridges and reinforced concrete bridges: a comparative analysis through Life Cycle Assessment. **Ambiente Construído**, 25. https://doi.org/10.1590/s1678-86212025000100792

Brasil. (2021). **LEI N° 14.133, DE 1° DE ABRIL DE 2021** - DOU - Imprensa Nacional. CNT. (2022). **Anuário CNT do Transporte 2022** - Princiáis Dados. 1–25.

European Commission-Joint Research Centre-Institute for Environment and Sustainability. (2010). International Reference Life Cycle Data System (ILCD) Handbook: Review Schemes for Life Cycle Assessment, 1st ed. In International Reference Life Cycle Data System (ILCD) Handbook (1st ed.). https://doi.org/10.2788/39791 Fernandes, J., Peixoto, M., Mateus, R., & Gervásio, H. (2019). Life cycle analysis of environmental impacts of earthen materials in the Portuguese context: Rammed earth and compressed earth blocks. Journal of Cleaner Production, 241. https://doi.org/10.1016/j.jclepro.2019.118286

Huijbregts, M., Steinmann, Z. J. N., Elshout, P. M. F. M., Stam, G., Verones, F., Vieira, M. D. M., Zijp, M., & van Zelm, R. (2016). ReCiPe 2016. **National Institute for Public Health and the Environment**, 194. https://www.rivm.nl/bibliotheek/rapporten/2016-0104.pdf







6. Referências

ISO 14040. (2009). Environmental assessment - Life cycle assessment - Principles and framework. Internation Standard Organisation, 1997, 1–20.

ISO (International Organization for Standardization). (2014). **ISO 14044**:2006; ISO, Environmental management—Life cycle assessment—Requirements and guidelines. International Organization for Standardization (ISO):

Llantoy, N., Chàfer, M., & Cabeza, L. F. (2020). A comparative life cycle assessment (LCA) of different insulation materials for buildings in the continental Mediterranean climate. **In Energy and Buildings** (Vol. 225). Elsevier Ltd. https://doi.org/10.1016/j.enbuild.2020.110323

Lvel, J., Watson, R., Abbassi, B., & Abu-Hamatteh, Z. S. (2020). Life cycle analysis of concrete and asphalt used in road pavements. **Environmental Engineering Research**, 25(1), 52–61. https://doi.org/10.4491/eer.2018.399 Oliveira, Lidiane Santana; John, V. J. **Sidac** - Sistema de Informação do Desempenho Ambiental da Construção. Retrieved March 20, 2023, from https://sidac.org.br/conteudo_tecnico

Oliveira, Lidiane Santana; John, V. J. **Sidac** - Sistema de Informação do Desempenho Ambiental da Construção. Retrieved March 19, 2023, from https://sidac.org.br/conteudo tecnico. Acesso em: 20 mar. 2023.

The Evah Institute. (n.d.). **Evah OzLCI2019 Free Database**. Retrieved April 11, 2023, from https://nexus.openlca.org/database/OzLCI2019





